

家兎舌のリン脂質組成および Phosphatidylethanolamine と Phosphatidylcholine の脂肪酸並びに 脂肪性アルデヒド組成について

西城一翼 山田恵子
札幌医科大学生化学第2講座（主任 坂上利夫 教授）

Studies on Phospholipid Composition and Compositions of Fatty Acid
and Fatty Aldehyde in Phosphatidylethanolamine
and Phosphatidylcholine in Rabbit Tongue

Kazuyoku SAIJO and Keiko YAMADA
Department of Biochemistry (Section 2), Sapporo Medical College
(Chief : Prof. T. Sakagami)

The phospholipid composition of tongue muscle in rabbit was investigated in comparison with that of the skeletal muscle of the calves of the hind legs.

1. The percent distribution of sphingomyelin and phosphatidylcholine (PLC) were lower than those of the skeletal muscle, while the percent distributions of phosphatidylethanolamine (PLE) and phosphatidic acid plus cardiolipin fraction were higher than those of the skeletal muscle.

2. In the tongue, 22% of PLE was of alkenyl-acyl type and 9% was of alkyl-acyl type. In contrast, about 90 % of PLC was of diacyl type.

3. The fatty acid compositions of acid stable PLE and PLC were estimated. The main fatty acids in acid stable PLE were stearic acid, oleic acid and arachidonic acid. The main fatty acids in acid stable PLC were palmitic acid, stearic acid, oleic acid and linoleic acid.

4. The main fatty aldehydes in alkenyl-acyl type PLE were palmitaldehyde and stearaldehyde in the tongue. The fatty acids in alkenyl-acyl type PLE were oleic acid, linoleic acid, arachidonic acid and other polyunsaturated fatty acids.

5. Seventy percent of stearic acid was found in the 1-position of diacyl PLE in the tongue. The main fatty acids in the 2-position of diacyl PLE in the tongue were oleic acid, linoleic acid and arachidonic acid.

6. Fatty acid composition in alkenyl-acyl type PLC was similar to PLE in the tongue.

7. The main fatty acids in the 1-position of diacyl PLC in the tongue were palmitic acid and stearic acid, while in the 2-position they were oleic acid, linoleic acid and arachidonic acid.

Discussion was based upon a comparison of the data regarding the tongue with that regarding the skeletal muscle.

(Received April 14, 1983 and accepted June 8, 1983)

Key words: Rabbit tongue, Phospholipid composition, Phosphatidylethanolamine and phosphatidylcholine, Fatty acid composition, Fatty aldehyde composition

1 緒 言

種類の乳頭がそれぞれ分離され、そのタンパク化学的検索が進んでいる¹⁾。また味覚を刺激する物質を与えて影響を受ける乳頭の脂質分析を牛で行なった報告²⁾があるが、リン脂質に関しての詳細な報告はみられない。前報³⁾においてラット舌のリン脂質組成について検索

舌は互にはば直角に交錯する舌筋から構成され、これを口腔粘膜が被っていて、粘膜には多くの乳頭がある。味覚を司る味蕾については一連の研究があり、多

し、後肢より得た骨格筋の値との比較を行なった。その結果、実験に使用したラット舌の前端部のリン脂質組成は骨格筋の組成と多くの類似点が見られた。

今回、家兎の舌について前報と同様の検索を行ない、さらに主要リン脂質である phosphatidylethanolamine (PLE) と phosphatidylcholine (PLC) の脂肪酸組成、脂肪性アルデヒドの組成、脂肪酸の位置特異性について詳細な分析を試み、ラット舌の値との比較、さらに骨格筋との比較を行なった。

2 実験方法

2.1 実験材料

家兎(雌、体重1.5~3.0 kg)を一夜絶食後、エーテル麻酔下で断首、放血後ただちに舌と後肢を摘出した。舌は有郭乳頭後部を境として切りとり、前端部を生理食塩水で洗い、濾紙で水分を除いて湿重量を測定し、実験に供した。骨格筋は後肢より腓腹筋内側頭(Caput mediale of m. gastrocnemius)を摘出し、湿重量を測定し実験に供した。

2.2 脂質の抽出

舌、腓腹筋は4°C下で細断した後CHCl₃: MeOH(2:1 by vol.)でホモゲナイズし Folch法⁴⁾により脂質を抽出した。

2.3 薄層クロマトグラフィー(TLC)によるリン脂質の分画

Skipkiらの方法⁵⁾に従い、0.1 mM Na₂CO₃を含むSilica Gel Hプレートを用いCHCl₃: MeOH: AcOH: H₂O(50:30:7:2 by vol.)で展開した。またPLE、PLCの分離は中性のSilica Gel Gプレートを用いCHCl₃: MeOH: H₂O(65:25:4 by vol.)で展開して行なった。展開後の各リン脂質の抽出はArvidsonの方法⁶⁾に従った。

2.4 PLE, PLC の diacyl 型, alkenyl-acyl 型, alkyl-acyl 型の組成の測定

PLEとPLCをそれぞれ緩和な酸分解およびアルカリ分解を行ない、diacyl型、alkenyl-acyl型、alkyl-acyl型の組成を求めた。緩和な酸分解は前報³⁾同様、坂上と笠間の方法⁷⁾によって行なった。さらにacid stable画分をDawsonの方法⁸⁾にもとづいて緩和なアルカリ分解を行なった。各画分のP量をBartlettの方法⁹⁾により測定した。

2.5 Phospholipase A₂による脂肪酸位置特異性の検討

Acid stable(1,2-diacyl plus 1-alkyl-2-acyl) PLEまたはPLCを2 mlのエーテルに溶解し、これに

0.08 mlのsnake venom溶液(10 mg Crotalus adamanteus/ml of 0.01 M CaCl₂-0.1 M Tris-HCl buffer, PH 7.4)を加えて37°C、一時間インキュベートした後、遊離した脂肪酸とリゾ体をTLCにより分離し、それぞれをガスクロマトグラフィー分析の試料とした。

2.6 Gas Liquid Chromatography

2.6.1 脂肪酸分析

緩和な酸分解により得られたacid labileおよびacid stable PLE、PLCの脂肪酸とacid stable PLE、PLCの1位、2位の脂肪酸の分析はBF₃-MeOH法¹⁰⁾によりメチル化した後、日立ガスクロマトグラフK-53型を用いて分析した。カラム充填剤はUnisole 3000(Uniport C), 80-100メッシュを用い、カラム温度230°C、キャリアーガスN₂、流速30 ml/minの条件で行なった。脂肪酸の定量は半值幅法によった。

2.6.2 脂肪性アルデヒドの分析

PLE、PLCをBF₃-MeOH法¹⁰⁾によりメチル化した後、得られたメチルエステル(ME)とジメチルアセタール(DMA)を、Silica gel Gプレートを用い、ベンゼンで展開して分離した¹¹⁾。DMAの分析はカラム充填剤Apiezon M 25% (Shimalite 101)¹²⁾、メッシュ60-80を用い、カラム温度197°C、キャリアーガスN₂、流速60 ml/minの条件で行なった。脂肪性アルデヒドの定量は半値幅法によった。

各ピークの同定に使用した脂肪酸メチルエステル(C_{14:0}, C_{16:0}, C_{18:0}, C_{20:0}, C_{22:0})はSigma社から求めた。脂肪性アルデヒド(C_{14:0}, C_{16:0}, C_{18:0})は米国ライス大学生化学教室、A. Kisic博士より供与された。他のピークは相対保持時間より決定した。

3 実験結果と考察

Table 1に家兎の舌と骨格筋のリン脂質組成を示した。舌では骨格筋に比べて sphingomyelin, PLCの割合が低く、PLE, phosphatidic acid (PA) plus cardiolipin (CA)画分の割合が高かった。前報³⁾ではPAとCAの分離を行ない、ラット舌におけるCAの割合が骨格筋のそれよりも高い結果を得ている。舌は主として筋層よりも、その筋層はすべて横紋筋であり骨格筋に分類される。しかしそのリン脂質組成は、骨格筋よりもむしろ、心筋¹³⁾に類似していた。

Table 2に家兎の舌と骨格筋のPLE、PLCのdiacyl, alkenyl-acyl, alkyl-acyl型の組成を示した。舌のPLCは大部分がdiacyl型であり、ラットでの値³⁾とよく一致したが、骨格筋のPLCではalkenyl-acyl,

Table 1 Phospholipid composition (mole %) of rabbit tongue and skeletal muscle. Each phospholipid was separated by Kiesel Gel H thin-layer chromatography : developing solvent; chloroform : methanol : acetic acid : water (50 : 30 : 7 : 2, by volume).

	Tongue (n=4)	Skeletal muscle (n=4)
Origin	1.0±0.3 ^a	2.2±0.6
Lysophosphatidylcholine	1.6±0.3	
Sphingomyelin	5.5±0.4	7.2±0.7
Phosphatidylcholine	41.6±0.5	52.3±2.3
Phosphatidylinositol + Phosphatidylserine	10.2±0.6	12.2±0.8
Phosphatidylethanolamine	28.4±0.8	18.6±1.1
Phosphatidic acid + Cardiolipin	11.8±0.4	7.5±1.4

a Means ± S. D.

alkyl-acyl型がそれぞれ9.4%, 6.9%と舌の値より高い割合を示した。舌のPLEではalkenyl-acyl型が22%を示し、ラットの値(24%)³⁾とよく一致したが、平滑筋であるラット小腸筋層¹⁴⁾、家兎心筋¹³⁾の約1/2であった。骨格筋のPLEではalkenyl-acyl型の割合が53%と高かった。Okano *et al.*¹⁵⁾はラットで種々の筋肉のalkenyl-acyl型PLEを測定しているが、いずれも12%から35%であった。一方、Waku *et al.*¹⁶⁾は家兎筋小胞体の脂質を分析し、PLEのalkenyl-acyl型が64%, alkyl-acyl型が7%, PLCではそれぞれ10%, 7%という値を出しており、我々の値とよく一致した。以上示したように、家兎骨格筋では舌に比べて、alkenyl-acyl型PLEの割合が高かったが、Table 1に見られるように骨格筋のPLEの割合が舌に比べて低いので、全リン脂質に対するalkenyl-acyl型PLEの割合は舌で6.4%，骨格筋で9.9%と大差なかった。今までにalkenyl-acyl型(いわゆる plasmalogen型)リン脂

質は、各臓器のうち神経組織¹⁷⁾、脳¹⁸⁾、心臓^{13,19)}、骨格筋²⁰⁾、腎臓²⁰⁾、脂肪組織²¹⁾、ガン細胞²²⁾などに多いことが知られているが、骨格筋同様舌もまた、alkenyl-acyl型PLEが高い割合で存在しており興味深い。

Table 3にacid stable PLEとPLCの脂肪酸組成を示した。舌のPLEは主として18:0, 18:1, 18:2, 20:4よりなり16:0は少なかった。また骨格筋に比べて不飽和脂肪酸、特に18:2, 20:4の割合が低く、18:0の割合が高かった。ラットでは22:6が16.5%存在していたが³⁾、家兎では20:5以上の高度不飽和脂肪酸の存在は認められなかった。しかし、ラットの舌の成績はtotalのPLEをメチル化しているので、alkenyl-acyl PLEの脂肪酸が含まれたデーターであることを考慮しなければならない。舌のPLCは主として16:0, 18:0, 18:1, 18:2よりなり骨格筋に比べて16:0, 18:2の割合が少なかった。この値はラットの値と極めて近似していた。

Fig. 1はacid stable画分のリン脂質の脂肪酸位置特異性を知る目的で、舌のacid stable PLEのphospholipaseによる加水分解条件を検討したものである。水解程度は、生じたリゾ体のP量を測定することにより求めた。図から判るようにacid stable PLEの水解は60分で約90%に達し、それ以降水解の程度は変わらなかった。使用したphospholipase A₂ (Crotalus adamanteus)は1位がacyl型のPLCを選択的に水解するという報告²³⁾がある。舌のacid stable PLE画分はTable 2の数値から判るようにalkenyl-acyl PLEを約12%含んでいるので、この条件下でdiacyl PLEの2位は、完全に水解されていると考えられる。

Table 4と5にalkenyl-acyl型、diacyl型PLEとPLCの脂肪性アルデヒドと脂肪酸の組成を示した。Alkenyl-acyl PLEについてみると(Table 4), 舌の脂肪性アルデヒドは16:0と18:0が主であったが(各々48%, 27%), 不飽和の18:1も16%存在していた。骨格筋では16:0と18:0が主で、16:0と18:0が1:1

Table 2 Diacyl, alkenyl-acyl, and alkyl-acyl-glycerylphosphoryl-ethanolamine (PLE) and -choline (PLC) from rabbit tongue and skeletal muscle. Results are expressed in mole %. Values in parentheses are percentages of total phospholipids.

Types	Tongue (n=5)		Skeletal muscle (n=4)	
	PLE	PLC	PLE	PLC
Diacyl	68.3±2.2(19.4) ^a	90.7±3.4(37.7)	39.6±1.2(7.4)	83.7±3.2(43.9)
Alkenyl-acyl	22.4±7.2(6.4)	4.6±1.2(1.9)	53.3±2.5(9.9)	9.4±2.8(4.9)
Alkyl-acyl	9.1±0.9(2.6)	4.7±1.3(2.0)	7.1±2.7(1.3)	6.9±2.2(3.6)

a Means ± S. D.

Table 3 Fatty acid composition (weight %) of acid stable phosphatidyl-ethanolamine (PLE) and -choline (PLC) fractions from rabbit tongue and skeletal muscle. Gas liquid chromatography was carried out with a Hitachi gas chromatograph, Model K-53, using 300×0.3 cm stainless steel column packed with Unisol 3000 (Uniport C), 80-100 mesh for fatty acid methyl esters. They were analyzed at 230°C ; nitrogen gas flow was 30 ml/min .

Chain length number of double bonds	Tongue		Skeletal muscle	
	PLE (n=5)	PLC (n=6)	PLE (n=4)	PLC (n=4)
15:0	— ^a	2.1±0.5	—	—
16:0	7.3±0.5 ^b	29.3±2.0	6.2±0.7	40.2±2.8
16:1	2.7±1.0	4.7±1.1	0.7±0.3	2.6±0.4
17:0	—	—	0.8±0.6	—
18:0	42.1±4.7	18.0±4.4	37.4±3.9	7.1±1.9
18:1	22.8±5.8	21.7±1.4	19.0±2.6	18.1±1.9
18:2	11.1±0.9	15.8±4.5	15.6±1.6	25.5±2.8
18:3	tr ^c	tr	—	—
20:3	—	—	—	—
20:4	13.9±0.5	8.4±1.5	20.3±0.8	6.8±1.3
20:5	—	—	—	—
22:4	—	—	—	—
22:5	—	—	—	—
22:6	—	—	—	—
S/US ^d	0.98	0.98	0.80	0.89

a—=Undetected b Means ± S.D. c tr=Trace d Saturated/unsaturated

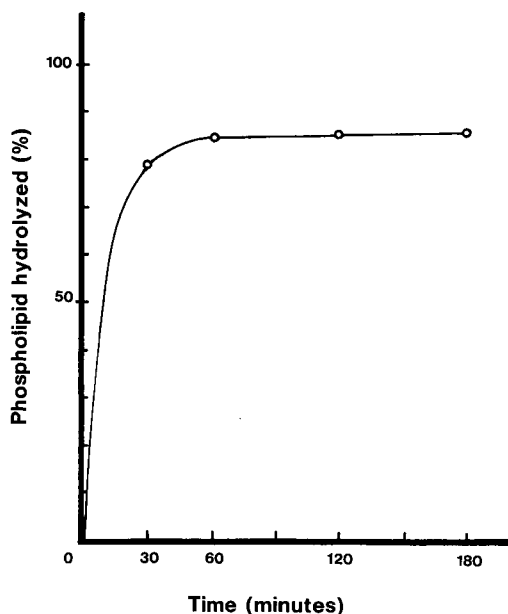


Fig. 1 Time course of hydrolysis of acid stable (1,2-diacyl plus 1-alkyl-2-acyl) phosphatidyl-ethanolamine in rabbit tongue by phospholipase A₂ in ether buffer system. Incubation medium contains acid stable phosphatidyl-ethanolamine (7-15 μg as lipid-P in 2 ml ether) plus 0.08 ml of phospholipase A₂ solution containing 10 mg *Crotalus adamanteus*, 0.01 M CaCl₂ and 0.1 M Tris-buffer (pH 7.4) in a total volume of 1 ml.

Table 4 Compositions of fatty aldehydes and positional distribution of fatty acids of alkenyl-acyl- and diacyl-glycerylphosphorylethanamine (PLE) in rabbit tongue and rabbit skeletal muscle. Results are expressed in weight %. Gas-liquid chromatography was carried out with a Hitachi gas chromatograph, Model K-53, using 100×0.3 cm stainless steel columns packed with Apiezon M 25% (Shimalite 101), 60–80 mesh for dimethylacetals. They were analyzed at 197°C ; nitrogen flow was 60 ml/min . Experimental conditions for methyl esters of fatty acid were the same as in Table 3.

Chain length number of double bonds	Alkenyl-acyl PLE				Diacyl-PLE			
	Tongue (n=5)		Skeletal muscle (n=4)		Tongue (n=5)		Skeletal muscle (n=4)	
	Fatty aldehyde	Fatty acid	Fatty aldehyde	Fatty acid	1-position	2-position	1-position	2-position
12:0	5.4±1.8 ^a	—	—	—	—	—	—	—
14:0	0.5±0.5	—	—	—	—	—	—	—
15:0	0.5±0.5	—	tr	—	—	—	—	—
16:0	47.6±3.0	7.0±2.1	41.8±2.2	6.1±1.5	5.8±0.4	4.6±2.6	7.9±1.8	7.5±0.8
16:1	0.4±0.5	1.3±0.8	tr	0.7±0.3	0.7±0.4	4.3±1.3	0.9±0.7	—
17:0	2.9±0.5	—	1.4±0.8	—	0.9±0.1	1.6±0.5	1.7±0.2	—
18:0	26.5±3.7	1.5±0.4	46.7±2.8	3.5±0.6	69.6±1.6	2.9±1.2	66.0±3.8	35.6±2.3
18:1	16.3±0.8	31.5±2.2	8.3±1.0	37.7±4.7	17.9±1.2	29.8±3.0	16.6±3.2	16.8±2.1
18:2	tr ^b	10.5±1.9	1.8±0.8	10.1±2.8	3.9±0.5	17.9±2.2	4.2±1.4	19.2±1.3
18:3	— ^c	tr	—	tr	0.8±0.2	1.4±0.0	—	—
20:3	—	4.1±2.0	—	4.0±2.7	—	—	0.7±0.6	3.2±1.4
20:4	—	33.9±6.4	—	34.5±4.0	0.5±0.3	36.7±4.2	2.1±2.0	17.7±3.4
20:5	—	tr	—	—	—	—	—	—
22:4	—	—	—	—	—	0.9±0.1	—	tr
22:5	—	3.6±1.8	—	3.6±1.5	—	tr	—	tr
22:6	—	6.8±3.5	—	—	—	tr	—	tr
S/US ^d	4.99	0.09	8.90	0.11	3.21	0.10	3.09	0.76

a Means ± S.D. b tr=Trace c=Undetected d Saturated/unsaturated

の割合で存在していた。

舌の脂肪性アルデヒドの組成は、心筋¹³⁾の値と類似していた。

Alkenyl-acyl PLE の脂肪酸は舌では 18:1, 18:2, 20:4 とそれ以上の高度不飽和脂肪酸がみられ、骨格筋も同様の傾向を示した。舌の脂肪酸の組成は、心筋よりも骨格筋と近似していた。

Diacyl PLE についてみると、舌の1位は 18:0 が 70% を占めており、この傾向は骨格筋、心筋でも同様であった。2位についてみると、舌では 18:1, 18:2, 20:4 の不飽和脂肪酸が大部分を占めており、特に骨格筋に比べて 20:4 の割合が高かった(37%)。骨格筋では2位に 18:0 が 35% も認められた。

Alkenyl-acyl 型と diacyl 型の1位の脂肪性アルデヒドと脂肪酸の組成を比較すると、舌 PLE の脂肪性アル

デヒドは 16:0 が約半分を占めているのに、脂肪酸は 18:0 が 70% を占めていた。また2位の脂肪酸を比較すると、alkenyl-acyl PLE の2位は diacyl 型の2位に比べて 22:5 以上の高度不飽和脂肪酸がみられた。この傾向は骨格筋、心筋でも同様であった。

Table 5 は PLC について得られた値を示した。alkenyl-acyl PLC の脂肪性アルデヒドは含量が少なく、正確な値が得られなかったので省いた。舌 alkenyl-acyl PLC の脂肪酸組成をみると 18:1 (33%), 18:2 (17%), 20:4 (38%) が主で、alkenyl-acyl PLE とよく似た組成を示したが、20:5 以上の高度不飽和脂肪酸はみられなかった。骨格筋は心筋¹³⁾の組成と類似しており、舌に比べて 16:0 の割合が多く (22%) 20:4 の割合が少なかった (18%)。

Diacyl PLC についてみると、1位の脂肪酸は舌、骨

Table 5 Compositions of fatty aldehydes and positional distribution of fatty acids of alkenyl-acyl-and diacyl-glycerylphosphorylcholine (PLC) in rabbit tongue and rabbit skeletal muscle. Results are expressed in weight %. Experimental conditions were the same as in Tables 3 and 4.

Chain length number of double bonds	Alkenyl-acyl PLC				Diacyl-PLC			
	Tongue (n=5)		Skeletal muscle (n=4)		Tongue (n=5)		Skeletal muscle (n=4)	
	Fatty aldehyde ^a	Fatty acid	Fatty aldehyde ^a	Fatty acid	1-position	2-position	1-position	2-position
14:0	— ^b		0.6±0.1 ^a	—	—	—	—	—
15:0	—		1.0±0.1	7.3±2.5	—	—	1.7±0.4	
16:0	10.8±2.8 ^c		21.7±3.7	52.0±2.8	15.9±3.8	75.9±2.7	8.5±0.9	
16:1	tr ^d		0.9±0.1	0.4±0.4	5.2±1.5	1.3±0.4	0.7±0.2	
17:0	—		—	—	—	—	—	—
18:0	1.9±0.3		4.9±1.1	25.2±2.1	1.0±0.5	11.3±1.0	—	
18:1	32.8±2.6		35.6±3.0	8.4±2.2	32.2±3.0	5.7±1.6	34.7±4.3	
18:2	16.9±3.9		14.7±2.6	6.7±1.4	26.3±3.9	4.5±0.8	45.1±4.7	
18:3	—		tr	tr	—	—	—	
20:3	—		2.6±0.5	—	tr	—	—	
20:4	37.6±5.0		18.1±4.0	tr	19.3±2.2	—	0.6±0.3	
20:5	tr		—	—	tr	—	—	
22:4	—		—	—	tr	—	1.1±0.3	
22:5	—		—	—	tr	—	0.4±0.4	
22:6	—		—	—	tr	—	7.3±2.7	
S/US ^e	0.15		0.40	5.45	0.20	7.70	0.11	

a The amount of this fraction was too small to obtain accurate values.

b —=Undetected c Means ± S.D. d tr=Trace e Saturated/unsaturated

格筋ともに 16:0 と 18:0 が主であり、特に骨格筋では 16:0 が 75% を占めていた。2 位では、舌は 18:1, 18:2, 20:4 の不飽和脂肪酸が全体の 75% を占めていたが、16:0 も 16% 含まれていた。

骨格筋では 20:4 が殆どみられなかったが、舌で認められなかつた 22:4 以上の高度不飽和脂肪酸の存在がみられたことは興味深い。

Alkenyl-acyl PLC と diacyl PLC の 2 位の脂肪酸を比較すると、舌では alkenyl-acyl PLC は diacyl PLC に比べて 16:0, 18:2 の割合が低く、20:4 の割合が高かつた。骨格筋 PLC は 2 位の脂肪酸を比較すると舌と異なり、alkenyl-acyl PLC は diacyl 型に比べて 18:2 の割合が低く、16:0 と 20:4 の割合が高かつた。また diacyl PLC は、22:4 以上の高度不飽和脂肪酸がみられた。

Alkenyl-acyl 型のリン脂質は diacyl 型のリン脂質と合成経路が異なり、alkyl-acyl 型リン脂質のアルコールの dehydrogenation によって合成されるという報

告^{24,26)}がある。今回、alkyl-acyl PLE, PLC の脂肪性アルコールの組成は検討していないが、著者らによるラット小腸筋層での検討¹⁴⁾では脂肪性アルデヒドと脂肪性アルコールの組成は、必ずしも類似していなかつた。Waku *et al.*¹⁶⁾は家兎筋小胞体の alkyl-acyl PLC, PLE の脂肪性アルコールの組成を検討し、alkyl-acyl PLC の主な脂肪性アルコールは 16:0, alkyl-acyl PLE の脂肪性アルコールは 16:0 と 18:0 であると述べているが、舌についての報告はみられない。また alkenyl-acyl 型と diacyl 型 PLE, PLC の脂肪酸組成に多くの差がみられたが、1 位が acyl 型ではなく、alkenyl 型、alkyl 型の場合の 2 位への phospholipase や acyl CoA transferase の作用については必ずしも明確でない。Waku *et al.*²³⁾は種々のヘビ毒 phospholipase の作用は diacyl 型、alkenyl-acyl 型、alkyl-acyl 型により差のあること、また 1-alkenyl PLC を acyl 化する酵素の分布は、組織により差のあること²⁷⁾を示しており、diacyl 型、alkenyl-acyl 型の 2 位の組

成の差は、これらの酵素の分布の差によると考えられる。舌は前にも述べたように骨格筋に分類されるが、リン脂質組成、alkenyl-acyl PLE, PLC と diacyl PLE, PLC の脂肪性アルデヒドと脂肪酸組成は多くの点で、心筋の組成と類似点がみられた。舌は血管およびリンパ管が発達しており、神経分布も豊富で、生理的変化の対応が早い器官である。今後これらの分析結果をもとに、舌の機能との関連について検討を進めたと考える。

4 結 論

家兎舌のリン脂質を検索し、後肢より得た骨格筋と比較した。

1. リン脂質組成は骨格筋と比較すると sphingomyelin と phosphatidylcholine (PLC) の割合が低く、phosphatidylethanolamine (PLE) と phosphatidic acid plus cardiolipin 画分が高かった。
2. 舌の PLE には alkenyl-acyl 型が 22% 存在していたが、骨格筋では PLE の 53% が alkenyl-acyl 型であった。PLC は大部分が diacyl 型であった。
3. Acid stable PLE と PLC の脂肪酸組成を測定した。PLE は 18:0, 18:1, 20:4, PLC は 16:0, 18:0, 18:1, 18:2 が主な脂肪酸であった。
4. Alkenyl-acyl PLE と diacyl PLE の脂肪性アルデヒドと脂肪酸を測定した。Alkenyl-acyl PLE の脂肪性アルデヒドは 16:0 と 18:0 が主であった。脂肪酸は 18:1, 18:2, 20:4 と 22:5 以上の高度不飽和脂肪酸が主であった。Diacyl 型 PLE の 1 位は 18:0 が 70% を占めていた。2 位は 18:1, 18:2, 20:4 の不飽和脂肪酸が大部分を占めていた。
5. Alkenyl-acyl PLC の脂肪酸は alkenyl-acyl PLE の脂肪酸と類似していた。Diacyl PLC の 1 位は 16:0 と 18:0 が主であった。2 位は 18:1, 18:2, 20:4 の不飽和脂肪酸が全体の 75% を占めていた。

以上成績を、ラットの舌および家兎骨格筋の成績と比較検討して、考察を行なった。

稿を終るにあたり、終始懇篤な御指導を戴きました福嶋鶴行札幌医科大学名誉教授と安江明子（長内）博士に深謝致します。本研究を行なうに当たり種々御便宜をはかって戴いた本学第二生化学講座教室員の方々、また実験材料の一部を提供下された長谷川一郎先生に謝意を表します。

文 献

1. Lum, C. K. L. and Henkin, R. I.: Characterization of fractions from taste bud and non-taste bud-enriched filtrates from and around bovine circumvallate papillae. *Biochim. Biophys. Acta* **421**, 362-379 (1976).
2. Kurihara, Y.: Phospholipids in the bovine tongue papillae. *Chem. Senses Flavor* **1**, 251-255 (1975).
3. 西城一翼： ラット舌のリン脂質組成および phosphatidylcholine と phosphatidylethanolamine の脂肪酸組成について。 *札幌医誌* **48**, 321-326 (1979).
4. Folch, J., Lee, M. and Sloane Stanley, G. H.: A simple method for the isolation and purification of total lipides from animal tissues. *J. Biol. Chem.* **226**, 497-509 (1957).
5. Skipski, V. P., Peterson, R. F. and Barclay, M.: Quantitative analysis of phospholipids by thin-layer chromatography. *Biochem. J.* **90**, 374-378 (1964).
6. Arvidson, G. A. E.: Structural and metabolic heterogeneity of rat liver glycerophosphatides. *Eur. J. Biochem.* **4**, 478-486 (1968).
7. 坂上利夫, 笠間将栄: Plasmalogen (acetal phospholipid) 微量定量法 生化学 **28**, 712-713 (1957).
8. Dawson, R. M. C.: A hydrolytic procedure for the identification and estimation of individual phospholipids in biological samples. *Biochem. J.* **75**, 45-53 (1960).
9. Bartlett, G. R.: Phosphorus assay in column chromatography. *J. Biol. Chem.* **234**, 466-468 (1959).
10. Metcalfe, L. D., Schmitz, A. A. and Pelka, J. R.: Rapid preparation of fatty acid esters from lipids for gas chromatographic analysis. *Anal. Chem.* **38**, 514-515 (1966).
11. Morrison, W. R. and Smith, L. M.: Preparation of fatty acid methyl esters and demethylacetals from lipids with boron fluoride-methanol. *J. Lipid Res.* **5**, 600-608 (1964).
12. Farquhar, J. W.: Identification and gas-liquid chromatographic behavior of plasmalogen aldehydes and their acetal, alcohol, and acetylated alcohol derivatives. *J. Lipid Res.* **3**, 21-30 (1962).
13. Osanai, A. and Sakagami, T.: Compositions of diacyl, alkenyl-acyl, and alkyl-acyl-glyceryl-phosphorylcholine and -ethanolamine in male and female rabbit hearts. *J. Biochem.* **85**, 1453-1459 (1979).

14. Yamada, K., Imura, K., Taniguchi, M. and Sakagami, T.: Studies on the composition of phospholipids in rat small intestinal muscle. *J. Biochem.* **79**, 809-817 (1976).
15. Okano, G., Matsuzaka, H. and Shimojo, T.: A comparative study of the lipid composition of white, intermediate, red and heart muscle in rats. *Biochim. Biophys. Acta* **619**, 167-175 (1980).
16. Waku, K., Uda, Y. and Nakazawa, Y.: Lipid composition in rabbit sarcoplasmic reticulum and occurrence of alkyl ether phospholipids. *J. Biochem.* **69**, 483-491 (1971).
17. Webster, G. R.: Studies on the plasmalogens of nervous tissue. *Biochim. Biophys. Acta* **44**, 109-116 (1960).
18. Dorman, R. V., Dreyfus, H., Freysz, L. and Horrocks, L. A.: Ether lipid content of phosphoglycerides from the retina and brain of chicken and calf. *Biochim. Biophys. Acta* **486**, 55-59 (1977).
19. Comte, J., Gautheron, D., Peypoux, F. and Michel, G.: Lipid composition and endogenous respiration of pig heart mitochondria. *Lipids* **6**, 882-888 (1971).
20. Witterberg, J. B., Korey, S. R. and Swenson, F. H.: The determination of higher fatty aldehydes in tissues. *J. Biol. Chem.* **219**, 39-47 (1956).
21. Grigor, M. R., Moehl, A. and Snyder, F.: Occurrence of ethanolamine-and choline-containing plasmalogens in adipose tissue. *Lipids* **7**, 766-768 (1972).
22. Wood, R. and Snyder, F.: Tumor lipids: Metabolic relationships derived from structural analyses of acyl, alkyl, and alkenyl moieties of neutral glycerides and phosphoglycerides. *Arch. Biochem. Biophys.* **131**, 478-494 (1969).
23. Waku, K. and Nakazawa, Y.: Hydrolyses of 1-0-alkyl-, 1-0-alkenyl-, and 1-acyl-2-[1-¹⁴C]-linoleoyl-glycero-3-phosphorylcholine by various phospholipases. *J. Biochem.* **72**, 149-155 (1972).
24. Paltauf, F.: Intestinal uptake and metabolism of alkyl acyl glycerophospholipids and of alkyl glycerophospholipids in the rat. Biosynthesis of plasmalogens from (³H) alkyl glycerophosphoryl (¹⁴C) ethanolamine. *Biochim. Biophys. Acta* **260**, 352-364 (1972).
25. Wykle R. L., Blank, M. L., Malone, B. and Snyder F.: Evidence for a mixed function oxidase in the biosynthesis of ethanolamine plasmalogens from 1-alkyl-2-acyl-sn-glycero-3-phosphorylethanolamine. *J. Biol. Chem.* **247**, 5442-5447 (1972).
26. Horrocks, L. A. and Radominska-Pyre, A.: Enzymic synthesis of ethanolamine plasmalogens from 1-alkyl-2-acyl-sn-glycero-3-(³²P)-phosphorylethanolamines by microsomes from rat brain. *Fed. Eur. Biochem. Soc. Lett.* **22**, 190-192 (1972).
27. Waku, K. and Lands, W. E. M.: Acyl coenzyme A: 1-alkenyl-glycero-3-phosphorylcholine acyltransferase action in plasmalogen biosynthesis. *J. Biol. Chem.* **243**, 2654-2659 (1968).

別刷請求先:

(〒060) 札幌市中央区南1条西17丁目

札幌医科大学学生化学第2講座 西城一翼